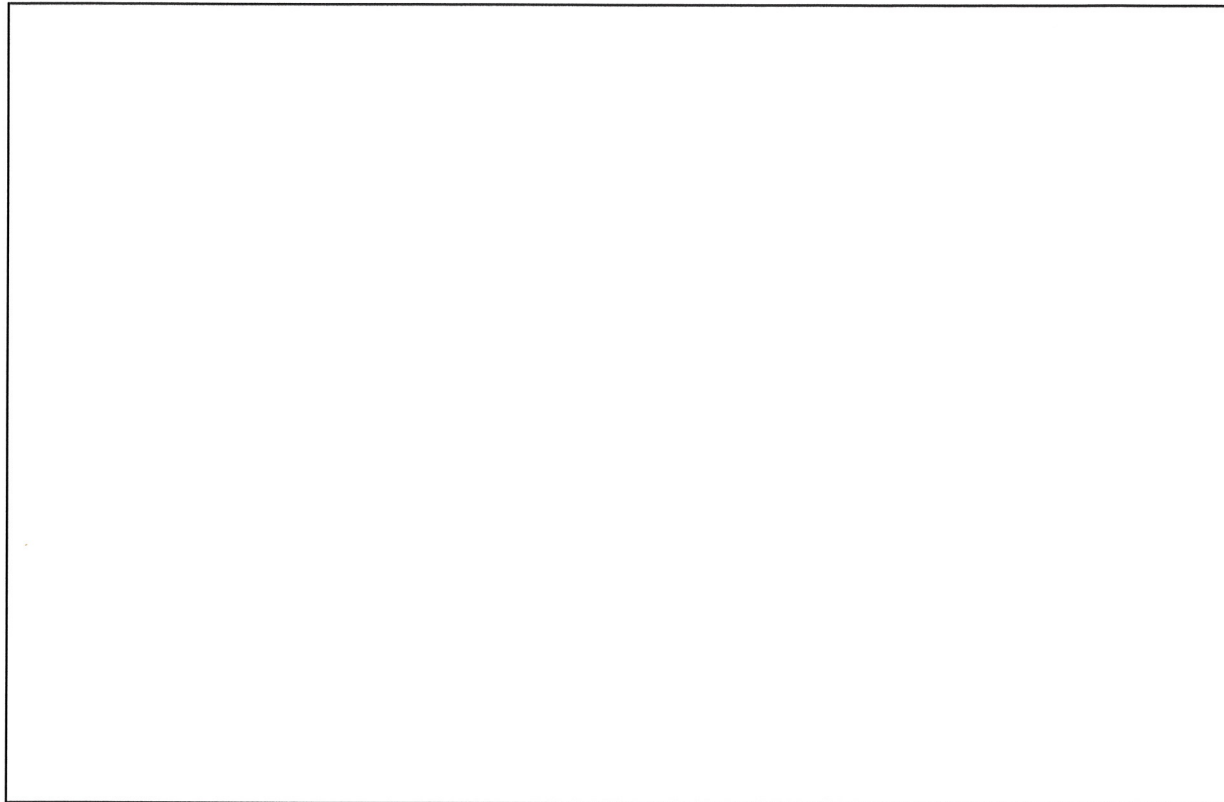




Statens vegvesen Oslo
E18 mellom Festningstunnelen og Ekebergtunnelen
Detalj- og reguleringsplan



Rapport nr. 0-LU-01

Utbygging av etappe 1 i Bjørvika Beregning av luftforurensning

NILU: OR 14/2000

NILU: OR 14/2000
REFERANSE: O-99072
DATO: MARS 2000
ISBN: 82-425-1163-2

Utbygging av etappe 1 i Bjørvika

Beregning av luftforurensning

Dag Tønnesen

Innhold

| | Side |
|--|-----------|
| Innhold | 1 |
| Sammendrag..... | 3 |
| 1 Innledning..... | 5 |
| 2 Luftkvalitetskriterier og grenseverdier | 5 |
| 3 Beregningsgrunnlag..... | 6 |
| 4 Utslippsberegninger | 6 |
| 5 Spredningsberegninger..... | 7 |
| 5.1 Beregning av belastning fra kilder utenfor området. | 7 |
| 5.2 Beregning av forurensningsbelastningen i området..... | 7 |
| 5.3 Sammenligning med dagens trafikkløsning..... | 18 |
| 6 Referanser..... | 18 |
| Vedlegg A Trafikkttall | 19 |
| Vedlegg B Utslipp på veilenkene | 23 |
| Vedlegg C Konsentrasjoner i beregningspunktene..... | 27 |
| Vedlegg D Sammenligning av belastning i Bjørvika for dagens vegsystem og planlagt løsning | 33 |

Sammendrag

Norsk Institutt for luftforskning har utført beregninger av luftforurensning for situasjonen etter utbygging av etappe 1 for ny E18 i Bjørvika. Det er gjennomført beregninger av utslipp og spredning av nitrogendioksid (NO_2) og svevestøv (PM_{10}) for trafikkattall som forventet i år 2010. Beregningene omfatter veisystemet mellom Ekebergtunnelens vestlige munning og Festningstunnelens nåværende østlige munning samt området ved Havnelageret. Bidrag fra andre kilder i Oslo for de to luftforurensningskomponentene som inngår er beregnet for 12 forskjellige vindretningssektorer. De beregnede konsentrasjonsnivåene er sammenlignet med anbefalte luftkvalitetskriterier og med nasjonale mål for luftkvalitet.

Beregningene av NO_2 viser overskridelse av nasjonale mål for luftkvalitet i området vest for den nye veitraseen (kaiområdet på Sørenga) samt nær Ekebergtunnelens munning. I den delen av middelalderparken som ligger mellom domkirkeruinene og "odden" i det nye vannspeilet (sørvest for ruinene) viser beregningene at nasjonale mål for luftkvalitet heller ikke overholdes. I de øvrige delene av beregningsområdet overholdes nasjonalt mål for luftkvalitet for NO_2 . Beregningene av PM_{10} viser et forskjellig belastningsmønster enn for NO_2 fordi det i disse beregningen må taes hensyn til vindretningsfordelingen. Utslippet er beregnet med tørr og bar vegbane hele døgnet. I området vest for ny veitrase vil det, som for NO_2 , forekomme overskridelse av nasjonale mål for luftkvalitet. I tillegg vil det forekomme overskridelse innerst i Bispevika, mellom veien og vannspeilet, samt ved Munningen av Ekebergtunnelen. Området ved middelalderparken har imidlertid ikke overskridelse. Beregnet nivå her ligger på 36 til 47 $\mu\text{g}/\text{m}^3$ som døgnmiddelverdi .

Utbygging av etappe 1 i Bjørvika

Beregning av luftforurensning

1 Innledning

Norsk Institutt for luftforskning har utført beregninger av luftforurensning for situasjonen etter utbygging av etappe 1 for ny E18 i Bjørvika. Det er gjennomført beregninger av utslipp og spredning av nitrogendioksid (NO_2) og svevestøv (PM_{10}) for trafikkattall som forventet i år 2010. Beregningene omfatter veisystemet mellom Ekebergtunnelens vestlige munning og Festningstunnelens nåværende østlige munning samt området ved Havnelageret. Etappeløsningen medfører at E18 blir lagt i tunnel under Bjørvika. Bidrag fra andre kilder i Oslo for de to luftforurensningskomponentene som inngår er beregnet for 12 forskjellige vindretningssektorer. De beregnede konsentrasjonsnivåene er sammenlignet med anbefalte luftkvalitetskriterier og med nasjonale mål for luftkvalitet. NILU har tidligere utført beregninger av forurensning fra trafikk i området i forbindelse med konsekvensutredningen av ny E18 i Bjørvika (Tønnesen og Haugsbakk, 1998).

2 Luftkvalitetskriterier og grenseverdier

Statens forurensningstilsyn (1992 og 1998) har utarbeidet anbefalte luftkvalitetskriterier for en rekke stoffer, deriblant NO_2 og PM_{10} .

| | | | |
|------------------|-----------------------|---|------------------------------|
| NO_2 | Timemiddelverdi | : | $100 \mu\text{g}/\text{m}^3$ |
| | 24-timers middelverdi | : | $75 \mu\text{g}/\text{m}^3$ |
| PM_{10} | 24-timers middelverdi | : | $35 \mu\text{g}/\text{m}^3$ |

Ved fastsettelsen av de anbefalte luftkvalitetskriteriene er det for NO_2 anvendt en usikkerhetsfaktor på ca. 5. Det betyr at eksponeringsnivåene må opp i 5 ganger høyere enn de angitte verdiene før det med sikkerhet er konstatert skadelige effekter. Det anbefalte kriteriene kan derfor ikke tolkes slik at nivåer over disse er definitivt helseskadelige, men det kan heller ikke utelukkes effekter hos spesielt sårbare individer selv ved nivåer under anbefalte luftkvalitetskriterier. For PM_{10} har man ikke kunnet fastlegge noe laveste nivå uten effekt.

Det henvises til SFTs rapporter når det gjelder bakgrunnen for retningslinjene og SFTs vurderinger (SFT, 1992 og 1998).

Luftkvaliteten i et område vurderes ved å sammenligne målinger eller beregninger av konsentrasjoner av luftforurensning med grenseverdier satt ut fra virkning på helse og/eller vegetasjon. Begrepene grenseverdi, retningslinje og anbefalt luftkvalitetskriterium er tallverdier for forurensningsgrad. Grenseverdier er juridisk bindende, retningslinjer er en målsetning, mens anbefalte luftkvalitetskriterier ut fra faglige argumenter er satt så lavt at virkninger på helse/vegetasjon vanligvis ikke vil opptre.

Tabell 1 viser kriterier, nasjonale mål og grenseverdier for luftkvalitet.

Tabell 1: Kriterier, nasjonale mål og grenseverdier for luftkvalitet (uteluft). Alle verdier gitt som $\mu\text{g}/\text{m}^3$ unntatt for CO som er gitt som mg/m^3 .

| Stoff | Midlings-tid | SFT luft-kvalitets-kriterier | Nasjonale mål * | Kartleggings-grenseverdi | Tiltaks-grense-verdi | EUs nye grenseverdier |
|------------------|--------------|------------------------------|-----------------|--------------------------|----------------------|-----------------------|
| NO_2 | 1 time | 100 | 150 | 200 | 300 | 200 |
| CO | 1 time | 25 | - | - | - | - |
| PM_{10} | 1 døgn | 35 | 50 | 150 | 300 | 50 |

* Nasjonale mål for luftkvaliteten i byer og tettsteder ble vedtatt av Regjeringen høsten 1998. De nasjonale mål er i hovedsak litt strengere enn EUs nye grenseverdier, men ikke så strenge som SFTs luftkvalitetskriterier. De nasjonale målene tillater 8 overskridelser pr. år for NO_2 og 7 overskridelser pr. år (2010) for PM_{10} .

3 Beregningsgrunnlag

Trafikkall for beregningene er hentet fra trafikkberegnene for etappe 2. I tillegg til utslipp i tidligere utførte beregninger er det lagt inn munningsutslipper fra senketunnelen i Bjørvika som tilsvarer tilført forurensningsmengde i tunnelen fra avtrekkspunktet ved utluftingssjakten vest for Bjørvika til den nye tunnelmunningen. Beregning av munningsutslipper forutsetter nær full utskifting av tunnellaft (95%) ved nåværende østlige munning. Kjørehastigheten på vegene er satt til 50 km/time eller 80 km/time, avhengig av vegtypen. For utslipp av svevestøv er det antatt en piggfriandel på 80 %. Beregningene av utslipp er gjennomført med en tungtrafikkandel på 10 %. I vedlegg A er det vist anvendte trafikkall og kjørehastigheter for de veiene som inngår i beregningen.

4 Utslippsberegninger

Utslipp fra biltrafikken i området er beregnet med utslippsfaktorer som reflekterer utslippsutvikling gitt i Nasjonal Utslippsmodell for biltrafikk for nitrøse gasser. Denne modellen tar hensyn til bilparkens sammensetning og aldersfordeling, midlere kjørelengde for ulike aldersklasser av biler og endring av utslipp i forhold til hva de var da bilen var ny. Den viktigste forskjellen på utslippsbergligningene gjennomført nå i forhold til tidligere beregninger (gjennomført med utslippsdelen av beregningsprogrammet VLUFT) er at nye utslippskrav til tunge kjøretøy inngår, og at det er tatt hensyn til endringer i aldersfordelingen av bilparken som følge av hevet vrakpant i 1996 og periodisk kontroll av kjøretøy (EU-kontroll).

Utslippsbergligningene for svevestøv er utført med NILUs kildemodell for vegstøv (PM_{10}). Utslippsbergligningene for svevestøv fra tunnelene er utført med reduksjon av utslippsstyrken i forhold til utslipp ved åpen vei som simulerer avsetning av støv på tunnelens indre overflate. Det foreligger ikke måledata som er samlet inn for å belyse dette problemet, så utslippstallene for tunnelmunningene er spesielt usikre. Reduksjonen av utslippsstyrken er simulert ved å redusere kjørehastigheten i utslippsformelen fra 80 km/time til 50 km/time. Utslippsfaktorer som gjennomsnittsutslipp pr. kjøretøy er vist i Tabell 2.

Tabell 2: Utslippsfaktorer (g/vkm) for nitrøse gasser (NO_x) og svevestøv(PM_{10}).

| Komponent | 50 km/time | 80 km/time |
|-----------|------------|------------|
| NO_x | 0,583 | 0,519 |
| PM_{10} | 0,629 | 1,295 |

Utslippet av nitrøse gasser og svevestøv på de enkelte veilenkene som inngår i spredningsberegningene er vist sammen med veilenkens koordinater i vedlegg B.

5 Spredningsberegninger

5.1 Beregning av belastning fra kilder utenfor området.

Belastning fra utsipp utenfor beregningsområdet er beregnet med en egen modell for spredning på byskala (Episode). Dette gir et mer reellt bilde av tilleggsbelastningen enn de tidligere anslagene. Beskrivelse av utslippenes størrelse og fordeling er hentet fra prosjektarbeid utført i forbindelse med en helseundersøkelse for Vålerenga og Gamlebyen (Bartonova et. al. ,1997) Beregningene er utført for 12 vindretningssektorer, og viser konsentrasjonene av NO_x og PM_{10} i lufta som strømmer inn i beregningsområdet for 24 timer i døgnet. Det er imidlertid antatt at langtransportert ozon har en konstant verdi på 60 $\mu\text{g}/\text{m}^3$ for alle vindretninger. Tabell 3 viser beregnet maksimal timekonsentrasjon av NO_x og døgnkonsentrasjon av PM_{10} for de 12 vindretningssektorene.

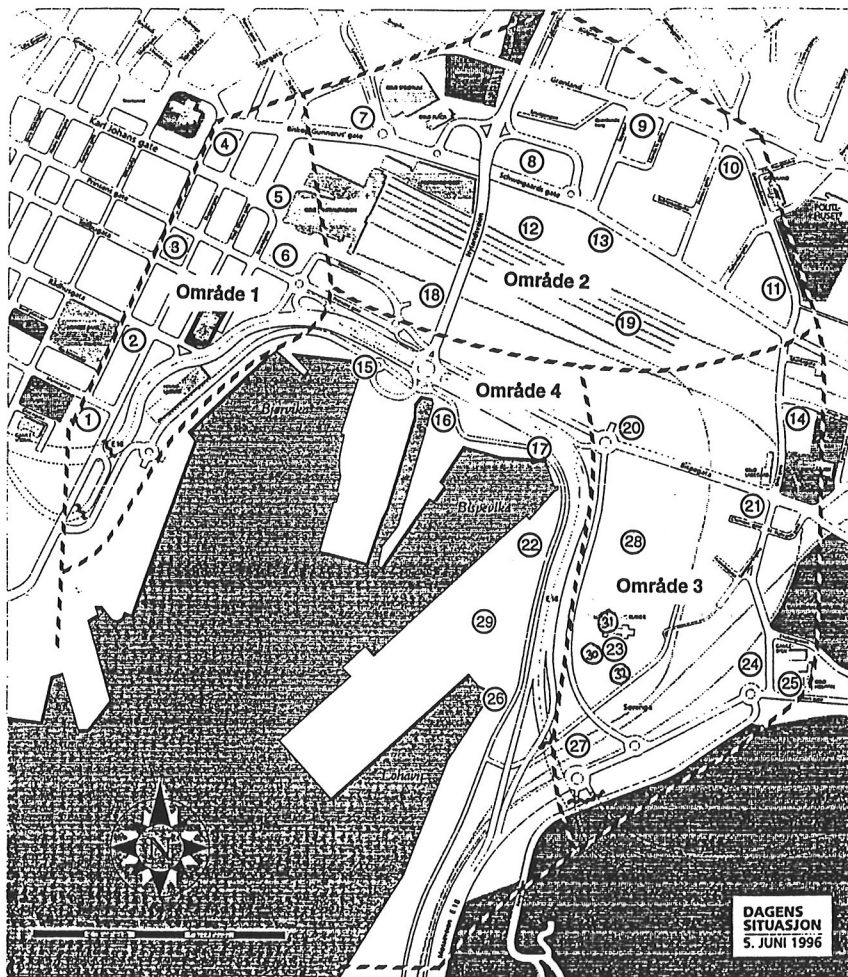
Tabell 3: Tilførselskonsentrasjon av NO_x og PM_{10} for 12 vindretninger.

| Vindretning fra | Timemiddel NO_x | Døgnmiddel PM_{10} |
|-----------------|-------------------|----------------------|
| 30 | 114 | 17 |
| 60 | 220 | 26 |
| 90 | 167 | 21 |
| 120 | 157 | 19 |
| 150 | 60 | 7 |
| 180 | 22 | 2 |
| 210 | 9 | 1 |
| 240 | 5 | 1 |
| 270 | 59 | 8 |
| 300 | 146 | 21 |
| 330 | 134 | 23 |
| 360 | 138 | 25 |

5.2 Beregning av forurensningsbelastningen i området

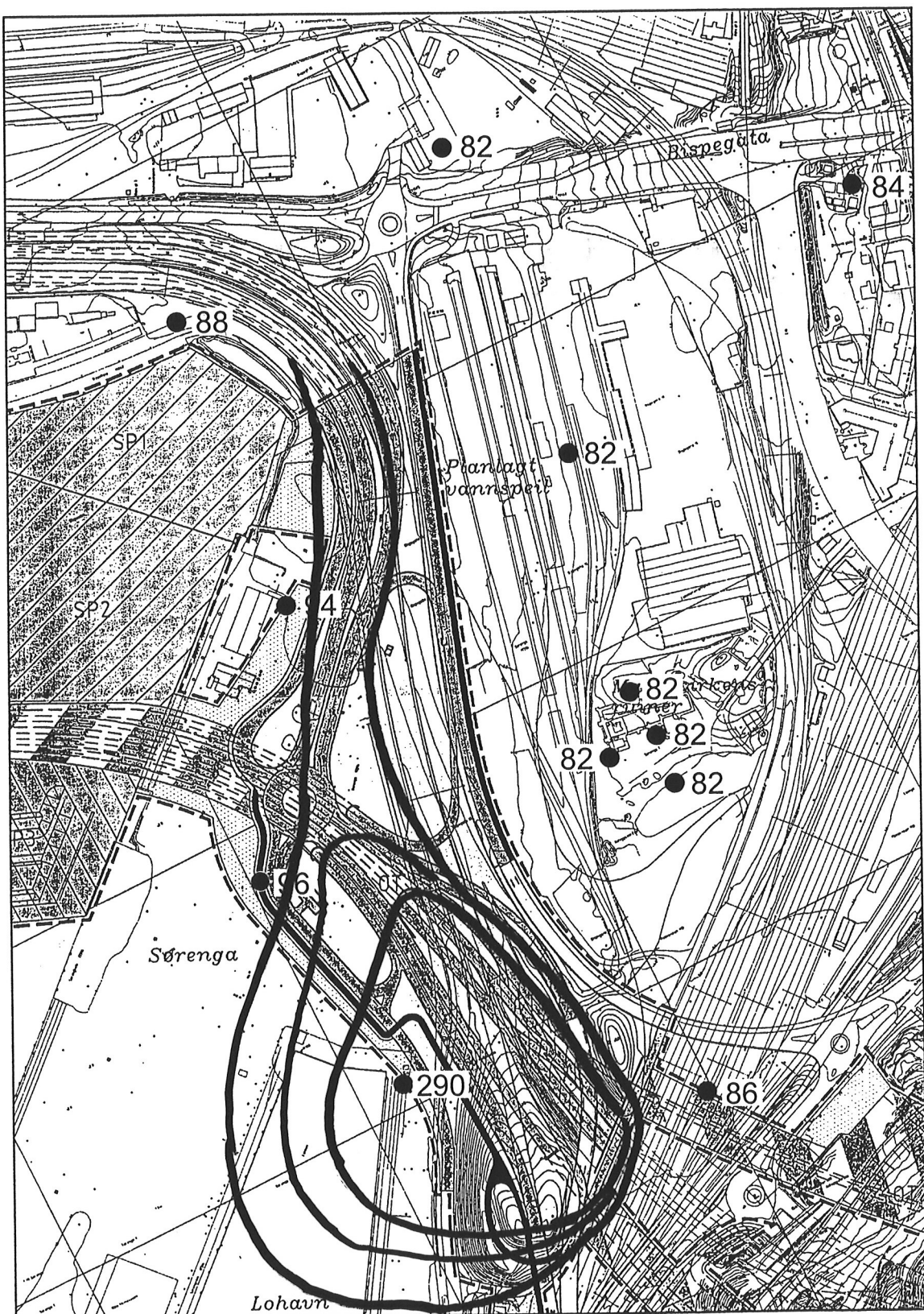
Beregningene for området mellom tunnelene er utført for de samme punktene som under beregningene i forbindelse med konsekvensutredningen. Dessuten er det lagt inn ytterligere beregningspunkter i middelalderparken. Plassering av alle disse punktene er vist nedenfor Figur 1. Beregningene rundt Havnelageret ble utført på et annen koordinatsystem. Plasseringen av disse beregningspunktene fremgår av figurene i Vedlegg D. Beregningene er gjennomført for timemiddelkonsentraserjoner av NO_2 og døgnmiddelkonsentraserjoner av PM_{10} .

Vindstatistikk fra Fornebu er anvendt for å vurdere forekomst av høye timemiddelkonsentrasjoner, samt for å beregne døgnmiddelverdier. Beregningene av døgnmiddelverdier er befeftet med større usikkerhet enn beregning av timemiddelkonsentrasjoner. Beregningsresultatene er gitt i tabellform i Vedlegg C. For området nærmest tunnelmunningen for den nye senketunnelen og Ekebergtunnelen og for området ved Havelageret er noen av beregningsresultatene vist på figurer. Figur 2, Figur 3, Figur 4 og Figur 5 viser beregningsresultater for NO_2 i Bispevika. Figurene viser henholdsvis konsentrasjoner ved svak vind fra nordøst (60 grader) (Figur 2), konsentrasjoner ved svak vind fra sørvest (210 grader) (Figur 3) og beregnet maksimumsverdi uavhengig av vindretning (Figur 4). Konsentrasjonene på figurene tar hensyn til forekomst av vindretning, vindstyrke og variasjon av utslipp over døgnet slik at de tilsvarer den 8. høyeste timekonsentrasjonen i året. Nordøst og sørvest er de to hyppigst forekommende vindretningssektorene for denne delen av Oslo. Beregnet verdi av 7. høyeste døgnmiddelkonsentrasjon av PM_{10} er vist på Figur 5. De beregnede konsentrasjonene kan sammenlignes med nasjonale mål for luftkvalitet. Disse er gitt ved et konsentrasjonsnivå og et tillatt antall verdier pr. år over dette nivået. For NO_2 er målet gitt ved maksimalt 8 årlige forekomster av timeverdier over $150 \mu\text{g}/\text{m}^3$. For PM_{10} er målet gitt ved maksimalt 7 årlige forekomster av døgnverdier over $50 \mu\text{g}/\text{m}^3$.



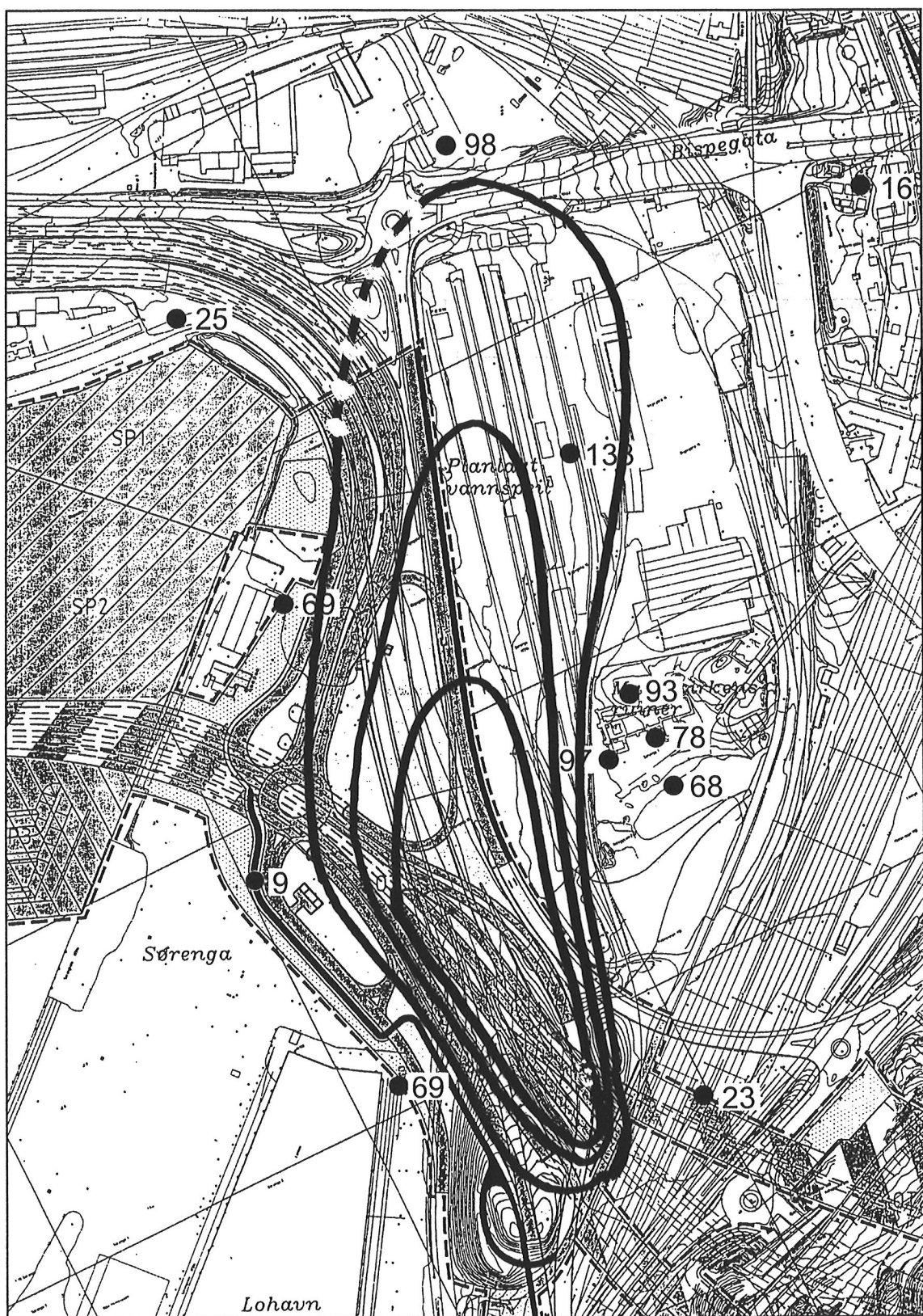
Figur 1: Avgrensning av beregningsområdet og reseptorpunktene plassering.

NO₂ ved 60° vindretning



Figur 2: Utbredning av NO₂ ved vind fra 60 grader (nord-nordøst). Enhet $\mu\text{g}/\text{m}^3$. Linjene viser $200 \mu\text{g}/\text{m}^3$, $150 \mu\text{g}/\text{m}^3$ og $100 \mu\text{g}/\text{m}^3$.

NO₂ ved 210° vindretning

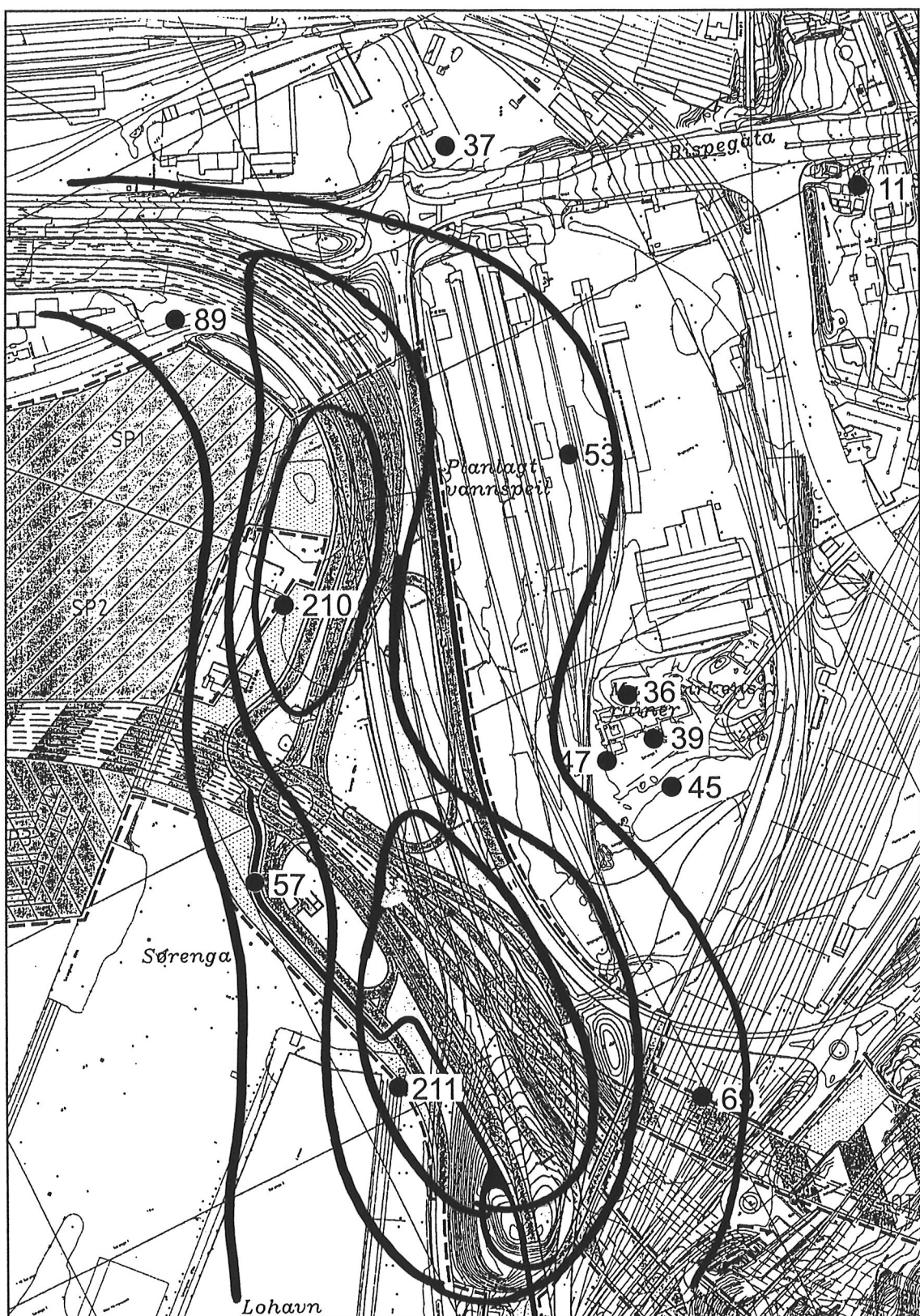


Figur 3: Utbredning av NO₂ ved vind fra 210 grader (sør-sørvest). Enhet µg/m³. Linjene viser 200 µg/m³, 150 µg/m³ og 100 µg/m³.

NO_2 maxverdi uavhengig av vindretning



Figur 4: Omhyldningskurver for NO_2 -konsentrasjon uavhengig av vindretning. Enhet $\mu\text{g}/\text{m}^3$. Linjene viser $300 \mu\text{g}/\text{m}^3$, $200 \mu\text{g}/\text{m}^3$, $150 \mu\text{g}/\text{m}^3$ og $100 \mu\text{g}/\text{m}^3$.

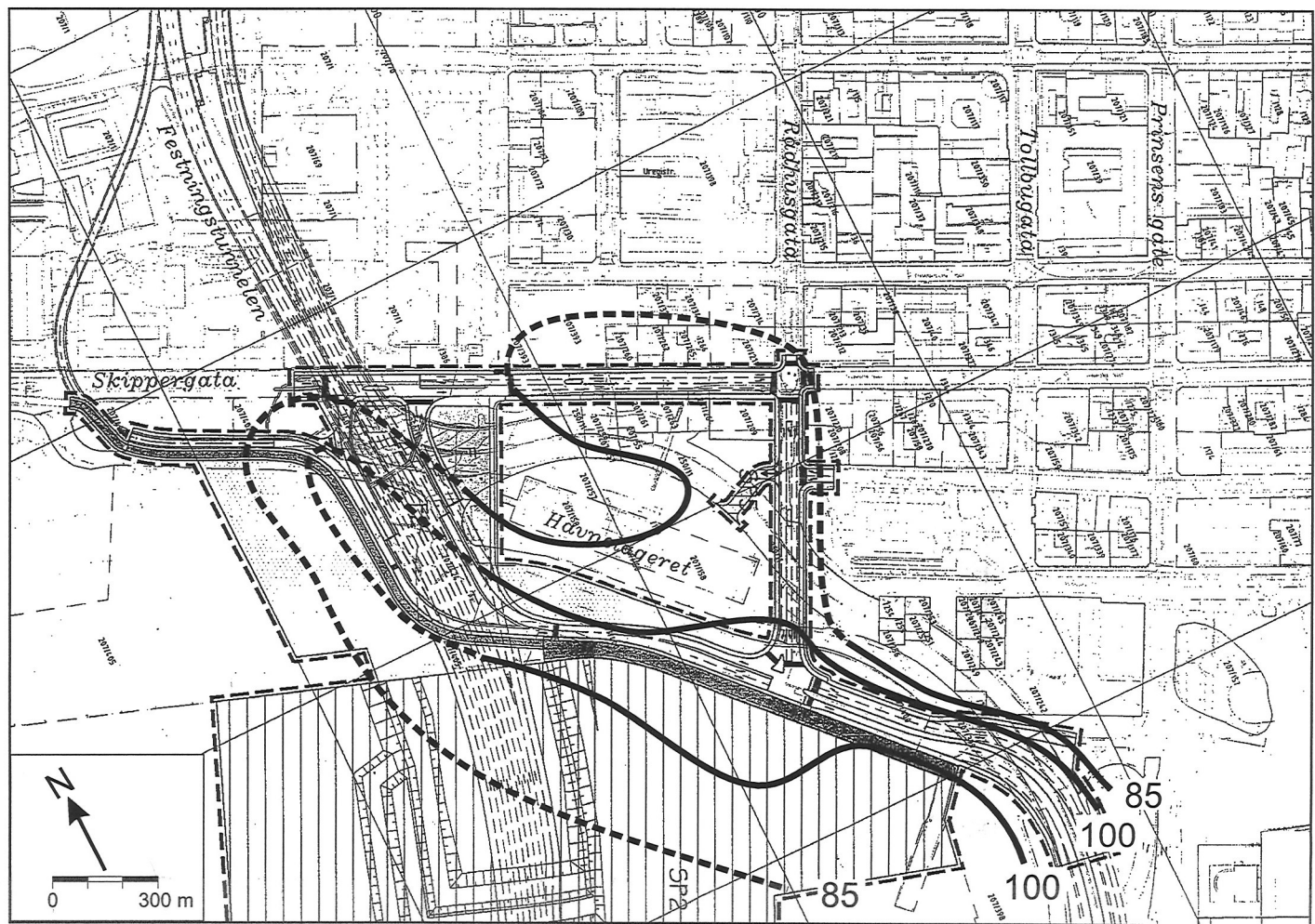
Døgnmiddel PM₁₀-verdi

Figur 5: Isokonzentrasjonskurve for døgnmiddelbelastning av PM₁₀. Enhet $\mu\text{g}/\text{m}^3$. Linjene viser $200 \mu\text{g}/\text{m}^3$, $100 \mu\text{g}/\text{m}^3$ og $50 \mu\text{g}/\text{m}^3$.

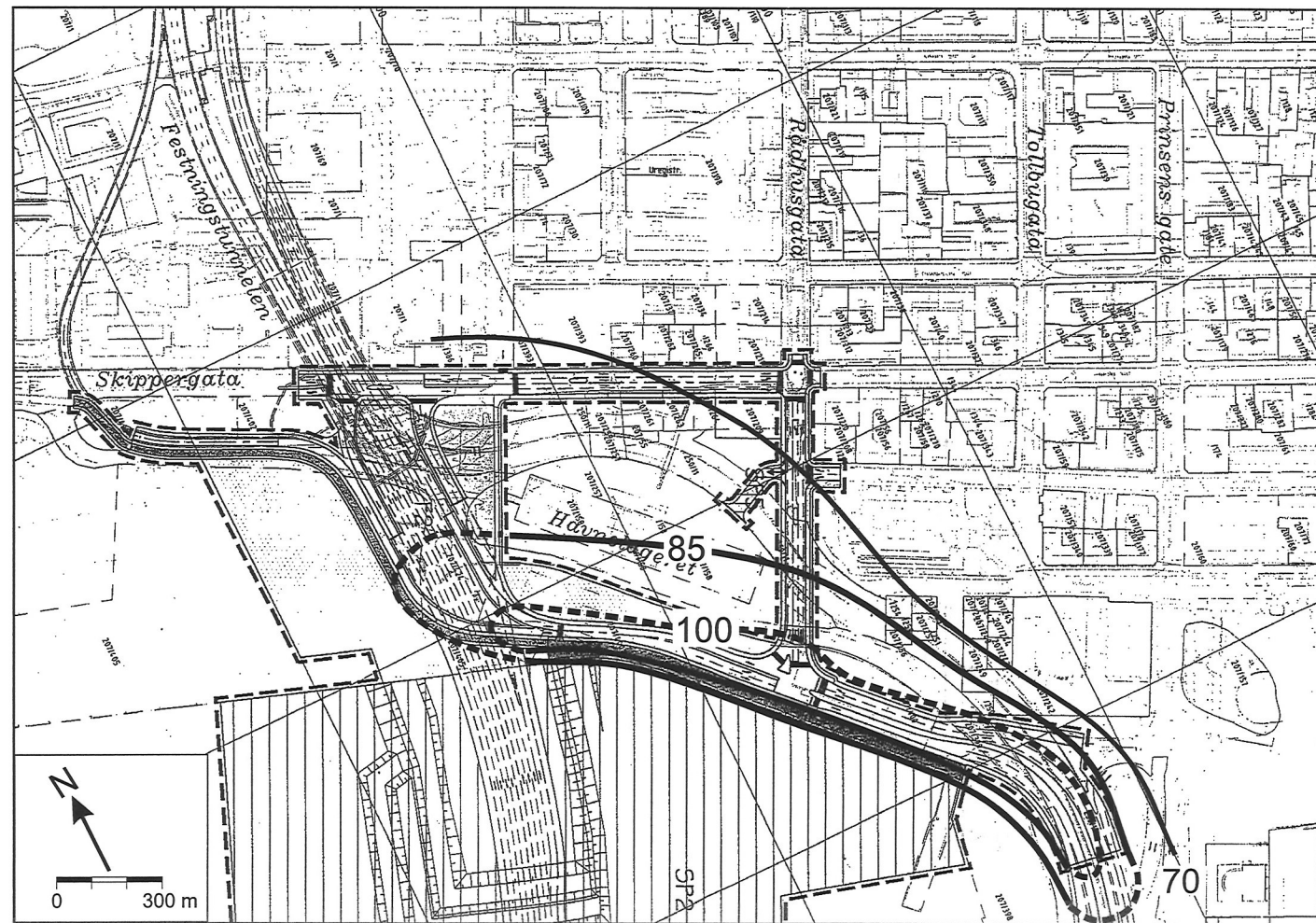
Beregningene av NO₂ viser overskridelse av nasjonale mål for luftkvalitet i området vest for den nye veitraseen (kaiområdet på Sørenga, punkt 22,26 og 29) samt nær Ekebergtunnelens munning (punkt 27). Ved middelalderparken viser beregningene at nasjonalt mål overholdes for det nordligste punktet (31). I punktene 23 ,30 og 32, som ligger mellom kirkeruinene og "oddnen" i det nye vannspeilet, er det beregnet verdier på 175 til 185 µg/m³ med forekomst 6 timer pr. år, og verdier på 90-100 µg/m³ for neste forekomst. Beregningene er utført for vindretningssektorer på 30 grader, og for disse punktene er det betydelig forskjell i belastningsnivå for nærliggende vindsektorer. Det beregnede "6-timers" nivået viser imidlertid at nasjonale mål ikke overholdes når konsentrasjonsbidragene fra timer med lavere utsipp enn for maksimaltiden tas hensyn til. I de øvrige beregningspunktene overholdes nasjonalt mål for luftkvalitet for NO₂.

Beregningene av PM₁₀ viser et forskjellig belastningsmønster enn for NO₂ fordi det i disse beregningen er lagt større vekt på midlere vindretningsfordeling. Beregningsmetoden gir en døgnbelastning basert på at de retningene det har forekommert vind i har hatt en gjennomsnittlig vindstyrkefordeling, og at det har blåst opp mot 16 timer i en vindsektor. Utslippet er beregnet med tørr og bar vegbane hele døgnet. Området vest for ny veitrase (22, 26, 29) har fortsatt overskridelse. I tillegg har punkt 17 (innerst i Bispevika) overskridelse. Punkt 27 (ved tunnelmunningen, Ekeberg) har også fortsatt overskridelse. Området ved kirkeruinene (punkt 23, 30, 31 og 32) har imidlertid ikke overskridelse. Beregnet nivå her ligger på 36 til 47 µg/m³ som døgnmiddelverdi .

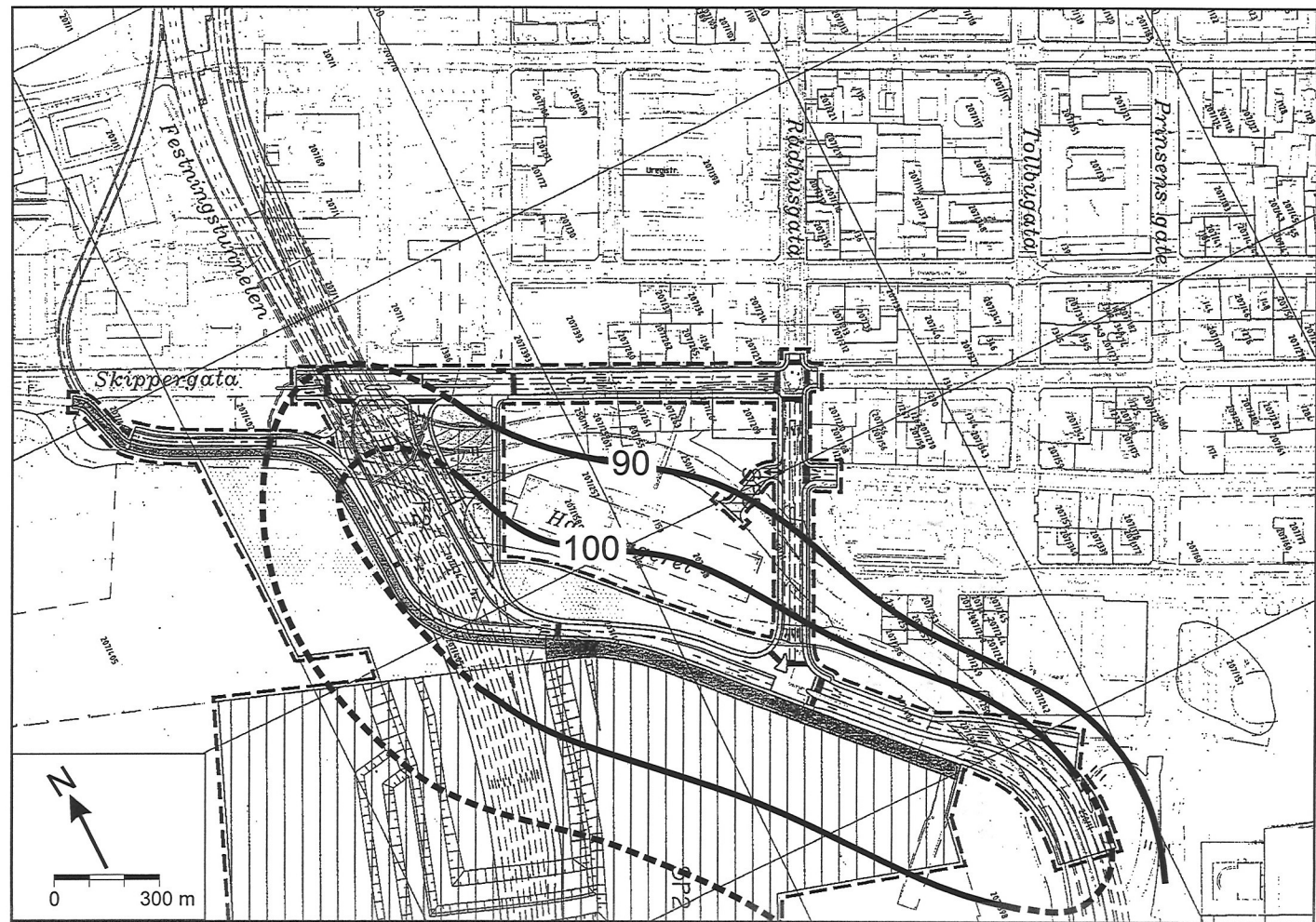
Figur 6 til Figur 9 viser forurensningsbelastning ved Havnelageret tilsvarende situasjoner som beskrevet for Bispevika. Beregningene av NO₂ viser at ingen av beregningspunktene får overskridelse av nasjonale mål for luftkvalitet. Det høyeste konsentrasjonsnivået er beregnet nær den nye vegraseen på utsiden av Havnelageret. For PM₁₀ viser beregningene verdier over nasjonalt mål ved/på Langkaia.



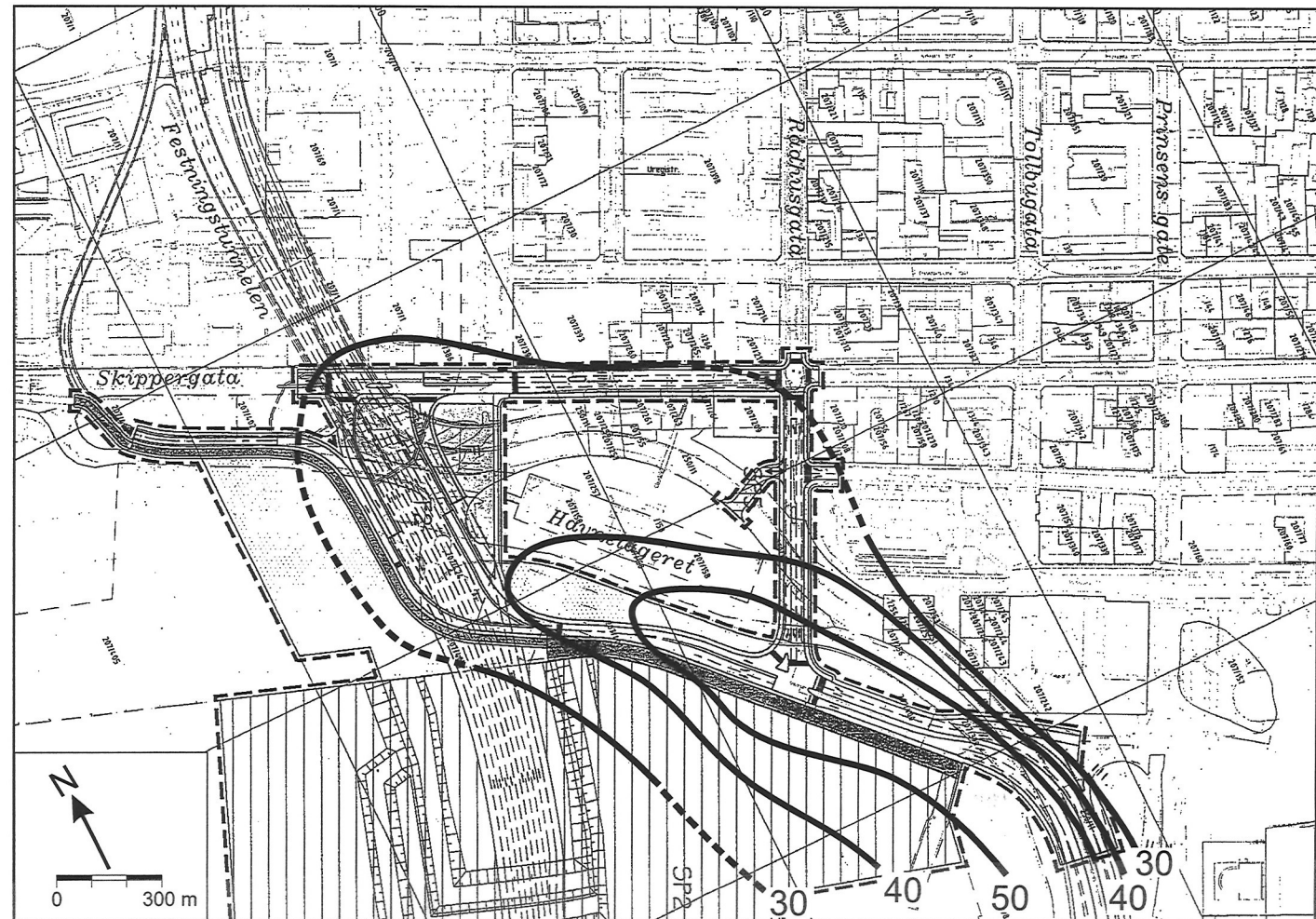
Figur 6: Havnelageret. Utbredning av NO_2 ved vind fra 60 grader (nord-nordøst). Enhet $\mu\text{g}/\text{m}^3$.



Figur 7: Hovinlageret. Utbredning av NO₂ ved vind fra 210 grader (sør-sørvest). Enhet µg/m³.



Figur 8: Havnelageret. Omhyldningskurver for NO₂-konsentrasjon uavhengig av vindretning. Enhet $\mu\text{g}/\text{m}^3$.



Figur 9: Havnemagasinet. Isokonsentrationskurve for døgnmiddelbelastning av PM₁₀. Enhet µg/m³.

5.3 Sammenligning med dagens trafikkløsning

For området ved Havnelageret er det gjennomført beregninger av vegsystemets bidrag til forurensninger med sammenligning av dagens vegløsning og fremtidig vegløsning med trafikkprognoser i år 2010 for begge vegløsningene. Beregningene omfatter ikke bidrag fra andre kilder enn vegene i beregningsområdet. Disse beregningene viser at belastningen fra vegen langs dagens trasé for E18 blir halvert med nytt vegsystem, og at belastningen i området nord for Havnelageret blir omlag 1/4 med nytt vegsystem. Maksimalkonsentrasjoner av NO₂ og PM₁₀ uavhengig av vindretning er vist i Vedlegg D.

Det er ellers ikke utført nye modellberegninger for framtidig trafikk på dagens vegløsning. Resultatene fra spredningsberegningene utført under konsekvensutredningen er imidlertid revurdert i forhold til at utslippsmengden fra en tilsvarende trafikkmengde vil bli redusert. De viktigste forskjellene mellom etappe 1 og dagens vegløsning er:

- En reduksjon i trafikkmengde langs eksisterende vei fra 82 000 til 22 000-32 000 kjøretøy pr. døgn
- En forskyvning vestover av trafikk på overflaten i området nærmest middelalderparken
- En reduksjon av trafikkmengden i området ved havnelageret/Oslo Børs fra 74 000 til ca 20 000 kjøretøy pr. døgn
- En ny tunnelmunning med tilhørende utslipp legges på Sørenga.

I forhold til de områdene som er vist på Figur 1 medfører trafikkomleggingen en klar nedgang i belastning fra vegutslipp i område 1, område 2 og den nordlige delen av område 3 og område 4, en liten endring i belastningen i den sørlige delen av område 3, og økning i belastning i den sørlige delen av område 4.

6 Referanser

Tønnesen, D. og Haugsbakk, I (1998) Nye beregninger av luftforurensning for alternativer av utbygging i Bjørvika, Oslo. Kjeller (NILU OR 81/98).

Statens forurensningstilsyn (1992) Virknings av luftforurensninger på helse og miljø. Anbefalte luftkvalitetskriterier. Oslo (SFT-rapport nr. 92:16).

Statens forurensningstilsyn (1998) Veileddning til forskrifter om grenseverdier for lokal luftforurensning og støy. Oslo (SFT-rapport nr. 98:03).

Bartonova, A., Clench-Aas, J., Gram, F., Guerreiro, C., Larssen, S., Tønnesen, D., Walker, S.E. (1998) Miljøundersøkelsene hovedveiomlegging Oslo Øst. Beregning av eksponering knyttet til intervjuundersøkelsen. Kjeller (NILU OR 6/98).

Vedlegg A**Trafikkttall**

Tabell A1: Trafikk tall(ÅDT) og kjørehastighet (km/time) for de veiene som inngår i beregningene

| Veilenke | ÅDT | Hastighet |
|--|-------|-----------|
| E18 Ekeberg-Sørenga | 60000 | 80 |
| Østre sideløp, Ekeberg | 10700 | 80 |
| Ytre forbindelse til Mosseveien | 7920 | 80 |
| Indre forbindelse til Mosseveien, sør på | 15330 | 80 |
| Indre forbindelse til Mosseveien, nord på | 7400 | 80 |
| Nordgående tilførsel rundkjøring | 18160 | 80 |
| Fra Sørenga til Bispevika (1) | 31700 | 80 |
| Fra Sørenga til Bispevika (2) | 33800 | 80 |
| Vestre sideløp ved Ekeberg | 8810 | 80 |
| Indre langs nytt vannspeil Sørenga-Bispevika | 12100 | 50 |
| Lokalveg Ekebergåsen 1 | 5640 | 50 |
| Lokalveg Ekebergåsen 2 | 3510 | 50 |
| Lokalveg Ekebergåsen 3 | 6450 | 50 |
| Fra Lokal Ekeberg mot Sørenga | 14960 | 50 |
| Bispegata (øst) | 900 | 50 |
| Gammel veg øst | 22700 | 50 |
| Gammel veg øst midt | 32600 | 50 |
| Gammel veg vest midt | 23600 | 50 |
| Gammel veg vest | 16300 | 50 |
| Sørover, vestside Bjørvika 1 | 18300 | 50 |
| Sørover, vestside Bjørvika 2 | 19600 | 50 |
| Splitt nord for E18 | 9200 | 50 |
| Splitt sør for E18 | 7300 | 50 |
| Bindelse til tunnel i vest | 10900 | 50 |
| Vestover til kvadraturen 1 | 4100 | 50 |
| Vestover til kvadraturen 2 | 5900 | 50 |
| Vestover til kvadraturen 3 | 5300 | 50 |
| Nord/Sør i kvadraturen | 17200 | 50 |

Vedlegg B

Utslipp på veilenkene

Tabell B1: Koordinater i beregningssystemet samt lenkevis utslipp av NO_x og PM₁₀. Enhet g/ms.

| Koordinater | | | | Utslipp | g/sm |
|-------------|-------|-------|-------|-----------------|------------------|
| X1 | Y1 | X2 | Y2 | NO _x | PM ₁₀ |
| 1,12 | 0,56 | 1,095 | 0,66 | 15,97 | 17,23163 |
| 1,12 | 0,56 | 1,085 | 0,71 | 0,86 | 2,1434 |
| 1,15 | 0,55 | 1,135 | 0,57 | 0,156 | 0,387 |
| 1,135 | 0,57 | 1,095 | 0,72 | 0,156 | 0,387 |
| 1,04 | 0,805 | 0,99 | 0,41 | 0,114 | 0,2848 |
| 1,04 | 0,805 | 1,065 | 0,585 | 0,222 | 0,5514 |
| 1,065 | 0,585 | 1,04 | 0,4 | 0,222 | 0,5514 |
| 1,04 | 0,4 | 1,135 | 0,6 | 0,106 | 0,2662 |
| 1,135 | 0,6 | 1,095 | 0,72 | 0,106 | 0,2662 |
| 1,095 | 0,72 | 1,04 | 0,805 | 0,262 | 0,653 |
| 1,04 | 0,805 | 1,175 | 0,97 | 0,458 | 1,1402 |
| 1,175 | 0,97 | 1,25 | 1,13 | 0,486 | 1,2158 |
| 1,04 | 0,805 | 1,09 | 0,61 | 0,128 | 0,3168 |
| 1,085 | 0,71 | 1,115 | 0,61 | 13,8172 | 14,90876 |
| 1,15 | 0,83 | 1,04 | 0,805 | 0,1216 | 0,131206 |
| 1,04 | 0,805 | 1,12 | 0,74 | 0,1094 | 0,118043 |
| 1,12 | 0,74 | 1,15 | 0,83 | 0,1094 | 0,118043 |
| 1,15 | 0,83 | 1,25 | 1,13 | 0,1958 | 0,211268 |
| 1,04 | 0,4 | 1,185 | 0,46 | 0,0912 | 0,098405 |
| 1,185 | 0,46 | 1,28 | 0,52 | 0,0566 | 0,061071 |
| 1,28 | 0,52 | 1,56 | 0,63 | 0,1042 | 0,112432 |
| 1,28 | 0,52 | 1,16 | 0,62 | 0,242 | 0,261118 |
| 1,16 | 0,62 | 1,15 | 0,83 | 0,242 | 0,261118 |
| 1,63 | 0,985 | 1,35 | 1,09 | 0,063 | 0,067977 |
| 1,35 | 1,09 | 1,25 | 1,13 | 0,1598 | 0,172424 |
| 1,25 | 1,13 | 1,06 | 1,22 | 0,3906 | 0,421457 |
| 1,06 | 1,22 | 0,905 | 1,3 | 0,4208 | 0,454043 |
| 0,905 | 1,3 | 0,78 | 1,35 | 0,3952 | 0,426421 |
| 0,78 | 1,35 | 0,63 | 1,43 | 0,2634 | 0,284209 |
| 0,6 | 1,35 | 0,535 | 1,235 | 0,2962 | 0,3196 |
| 0,535 | 1,235 | 0,41 | 1,12 | 0,3172 | 0,342259 |
| 0,41 | 1,12 | 0,26 | 1,14 | 0,1488 | 0,160555 |
| 0,41 | 1,12 | 0,38 | 1,08 | 0,1182 | 0,127538 |
| 0,38 | 1,08 | 0,27 | 1,06 | 0,1182 | 0,127538 |
| 0,27 | 1,06 | 0,21 | 0,97 | 0,1764 | 0,190336 |
| 0,35 | 1,33 | 0,4 | 1,3 | 0,0434 | 0,046829 |
| 0,4 | 1,3 | 0,46 | 1,27 | 0,1222 | 0,131854 |
| 0,46 | 1,27 | 0,535 | 1,235 | 0,068 | 0,073372 |
| 0,41 | 1,45 | 0,52 | 1,39 | 0,0678 | 0,073156 |
| 0,5 | 1,49 | 0,63 | 1,43 | 0,1182 | 0,127538 |
| 0,26 | 1,14 | 0,35 | 1,33 | 0,2864 | 0,309026 |
| 0,46 | 1,27 | 0,52 | 1,39 | 0,0892 | 0,096247 |

Vedlegg C

Konsentrasjoner i beregningspunktene

Tabell C1 viser døgnmiddelkonsentrasjonen av PM₁₀ for beregningspunktene. Første konsentrasjonskolonne, merket "24 timer i en retning" viser hva konsentrasjonen blir dersom vindretningen er den mest ugunstige for punktet sammenhengende i 24 timer.

Andre konsentrasjonskolonne merket "16 t - 8 t" viser hva konsentrasjonen blir dersom det blåser med den mest ugunstige vindretningen i 16 timer og den nest ugunstige vindretningen i 8 timer.

I den siste kolonnen er fordelingen på 16 timer og 8 timer vektet med forekomst av vindretning i de to ugunstige sektorene i forhold til den hyppigst forekommende vindretningen. Denne kolonnen angir estimatet for 98-prosentilen av døgnmiddel, tilsvarende nasjonalt mål for luftkvalitet.

Tabell C2 viser timemiddelkonsentrasjoner av NO₂ i beregningspunktene for alle vindretninger. Til høyre er den høyeste timekonsentrasjonen vist sammen med årsforekomst av samtidig maksimalutslipp og svak vind. De to nederste radene viser forekomst av svak vind for retningen i prosent av tiden, og hva forekomsten tilsvarer i antall timer med maksimalutslipp.

Tabell C3 viser timemiddelkonsentrasjoner av NO₂ for beregningspunkter ved Havnelageret.

Tabell C1: Konsentrasjoner av PM_{10}

| Punkt | X | Y | 24 timer en retning | 16 t -8 t | Vektet med forekomst |
|-------|-------|-------|------------------------|-----------|-------------------------|
| 1 | 0,225 | 1,2 | 53,6 | 42,0 | 17,9 |
| 2 | 0,322 | 1,331 | 24,1 | 22,9 | 16,7 |
| 3 | 0,4 | 1,5 | 12,2 | 11,8 | 6,5 |
| 4 | 0,49 | 1,7 | 37,2 | 28,5 | 10,8 |
| 5 | 0,582 | 1,495 | 45,6 | 35,8 | 13,9 |
| 6 | 0,6 | 1,462 | 49,8 | 40,8 | 16,1 |
| 7 | 0,7 | 1,55 | 23,4 | 19,2 | 7,6 |
| 8 | 1,07 | 1,65 | 89,3 | 63,2 | 61,7 |
| 9 | 1,33 | 1,76 | 11,0 | 10,7 | 6,5 |
| 10 | 1,5 | 1,73 | 11,0 | 10,7 | 6,5 |
| 11 | 1,6 | 1,4 | 50,3 | 37,2 | 23,7 |
| 12 | 1,085 | 1,532 | 107,0 | 75,0 | 73,5 |
| 13 | 1,268 | 1,525 | 17,4 | 15,3 | 13,7 |
| 14 | 1,608 | 1,185 | 11,0 | 10,7 | 6,5 |
| 15 | 0,773 | 1,27 | 56,8 | 43,5 | 17,4 |
| 16 | 0,904 | 1,185 | 20,3 | 19,0 | 11,0 |
| 17 | 1,155 | 1,085 | 126,4 | 92,8 | 89,4 |
| 18 | 0,928 | 1,4 | 13,3 | 12,6 | 11,0 |
| 19 | 1,31 | 1,345 | 14,1 | 13,0 | 8,2 |
| 20 | 1,29 | 1,123 | 71,2 | 64,6 | 37,4 |
| 21 | 1,56 | 0,994 | 32,5 | 26,5 | 10,5 |
| 22 | 1,102 | 0,929 | 297,6 | 216,6 | 209,9 |
| 23 | 1,26 | 0,74 | 142,7 | 105,1 | 38,8 |
| 24 | 1,538 | 0,663 | 83,9 | 59,7 | 24,9 |
| 25 | 1,615 | 0,631 | 88,2 | 62,6 | 26,0 |
| 26 | 1,025 | 0,623 | 398,3 | 369,7 | 211,2 |
| 27 | 1,2 | 0,52 | 189,4 | 185,8 | 69,0 |
| 28 | 1,278 | 0,915 | 117,3 | 85,2 | 52,6 |
| 29 | 1 | 0,8 | 209,2 | 160,5 | 56,5 |
| 30 | 1,24 | 0,74 | 149,9 | 107,2 | 47,2 |
| 31 | 1,26 | 0,77 | 106,9 | 77,6 | 36,0 |
| 32 | 1,26 | 0,71 | 152,7 | 126,6 | 44,8 |
| H1 | 0,395 | 0,395 | 34,3 | 30,6 | 26,8 |
| H2 | 0,42 | 0,42 | 25,7 | 25,4 | 18,3 |
| H3 | 0,53 | 0,47 | 46,0 | 43,1 | 18,1 |
| H4 | 0,4 | 0,52 | 69,3 | 67,8 | 44,0 |
| H5 | 0,36 | 0,34 | 70,3 | 65,7 | 40,5 |
| H6 | 0,38 | 0,32 | 56,4 | 53,6 | 31,3 |
| H7 | 0,4 | 0,3 | 53,6 | 52,9 | 30,0 |
| H8 | 0,42 | 0,28 | 58,7 | 55,8 | 73,4 |
| H9 | 0,44 | 0,26 | 63,5 | 61,8 | 55,8 |
| H10 | 0,46 | 0,24 | 100,1 | 92,0 | 41,8 |
| H11 | 0,48 | 0,22 | 84,3 | 81,8 | 49,9 |
| H12 | 0,5 | 0,2 | 80,9 | 78,4 | 62,1 |

Tabell C2: Konsentrasjoner av NO₂

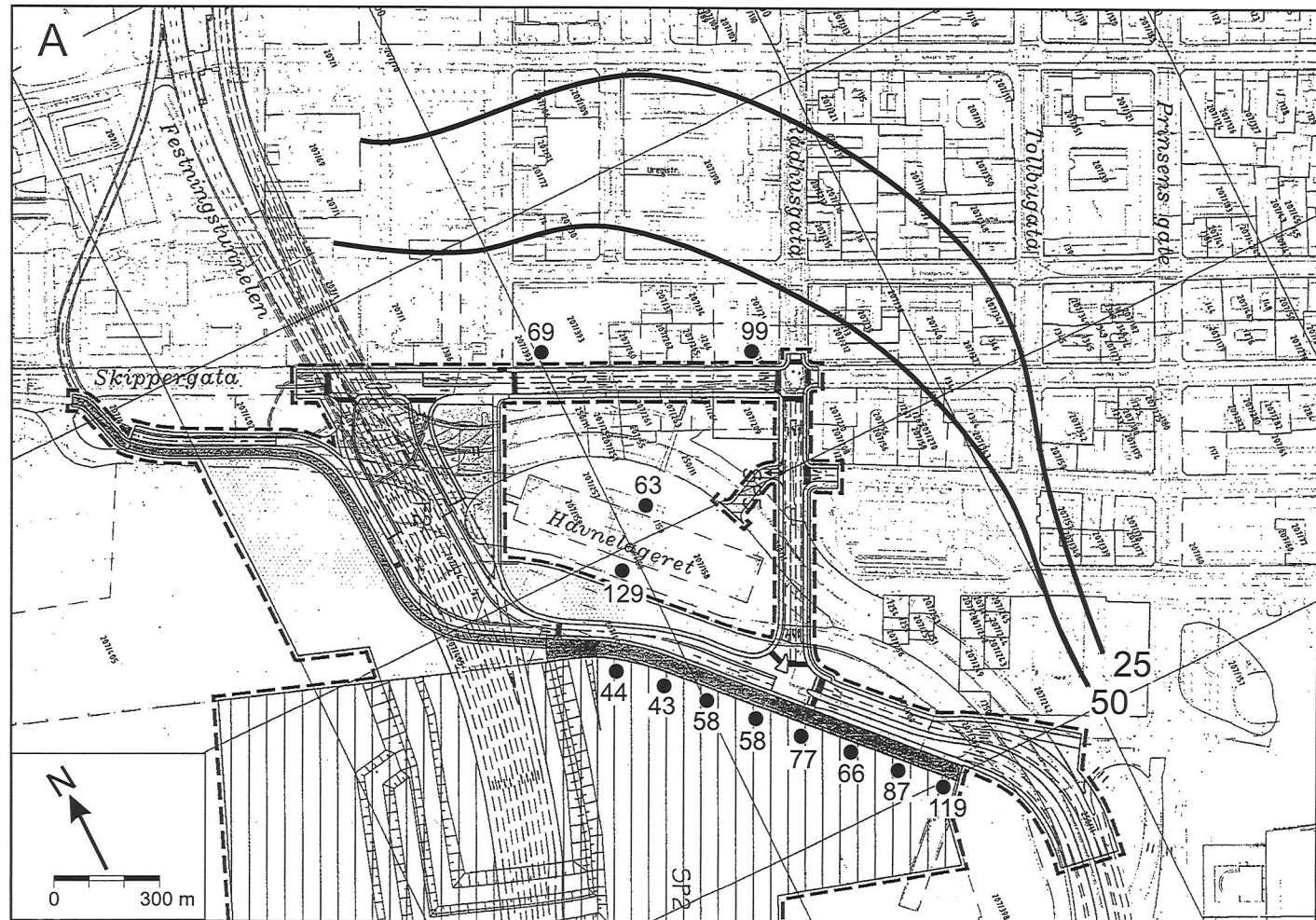
| Punkt | X | y | 30 | 60 | 90 | 120 | 150 | 180 | 210 | 240 | 270 | 300 | 330 | 360 | Maksi-mal | Timer (rush) |
|---------------------|-------|-------|-------|-------|-------|-------|-------|-------|-------|-------|-------|-------|-------|------|-----------|--------------|
| 1 | 0,225 | 1,2 | 71,7 | 87,1 | 83,6 | 108,8 | 69,5 | 30,0 | 8,7 | 5,2 | 58,8 | 74,6 | 73,4 | 73,8 | 108,8 | 5,2 |
| 2 | 0,322 | 1,331 | 71,5 | 82,8 | 83,9 | 88,2 | 74,3 | 71,2 | 17,7 | 5,2 | 58,8 | 74,6 | 73,4 | 73,8 | 88,2 | 5,2 |
| 3 | 0,4 | 1,5 | 71,4 | 82,0 | 77,4 | 79,3 | 72,6 | 38,0 | 17,7 | 5,2 | 58,8 | 74,6 | 73,4 | 73,8 | 82,0 | 5,5 |
| 4 | 0,49 | 1,7 | 71,4 | 82,0 | 76,7 | 76,3 | 95,3 | 41,0 | 13,7 | 5,2 | 58,8 | 74,6 | 73,4 | 73,8 | 95,3 | 3,9 |
| 5 | 0,582 | 1,495 | 71,4 | 82,0 | 76,7 | 82,8 | 102,6 | 63,0 | 56,7 | 34,2 | 66,8 | 74,6 | 73,4 | 73,8 | 102,6 | 3,9 |
| 6 | 0,6 | 1,462 | 71,4 | 82,0 | 76,7 | 87,7 | 106,4 | 67,9 | 67,0 | 60,2 | 70,7 | 75,0 | 73,4 | 73,8 | 106,4 | 3,9 |
| 7 | 0,7 | 1,55 | 71,4 | 82,0 | 76,7 | 76,5 | 83,4 | 37,0 | 46,7 | 20,2 | 58,8 | 74,6 | 73,4 | 73,8 | 83,4 | 3,9 |
| 8 | 1,07 | 1,65 | 71,4 | 82,0 | 76,7 | 75,7 | 64,1 | 96,7 | 19,7 | 29,2 | 58,8 | 74,6 | 73,4 | 73,8 | 96,7 | 5,7 |
| 9 | 1,33 | 1,76 | 71,4 | 82,0 | 76,7 | 75,7 | 60,1 | 41,0 | 18,7 | 29,2 | 58,8 | 74,6 | 73,4 | 73,8 | 82,0 | 5,5 |
| 10 | 1,5 | 1,73 | 71,4 | 82,0 | 76,7 | 75,7 | 60,1 | 25,0 | 53,7 | 26,2 | 58,8 | 74,6 | 73,4 | 73,8 | 82,0 | 5,5 |
| 11 | 1,6 | 1,4 | 71,4 | 82,0 | 76,7 | 75,7 | 60,1 | 24,0 | 91,4 | 20,2 | 67,5 | 74,6 | 73,4 | 73,8 | 91,4 | 4,4 |
| 12 | 1,085 | 1,532 | 71,4 | 82,0 | 76,7 | 75,7 | 66,9 | 103,9 | 20,7 | 37,2 | 60,8 | 74,6 | 73,4 | 73,8 | 103,9 | 5,7 |
| 13 | 1,268 | 1,525 | 71,4 | 82,0 | 76,7 | 75,7 | 62,1 | 67,9 | 19,7 | 24,2 | 60,8 | 74,6 | 73,4 | 73,8 | 82,0 | 5,5 |
| 14 | 1,608 | 1,185 | 71,4 | 82,0 | 76,7 | 75,7 | 60,1 | 25,0 | 46,7 | 46,2 | 69,6 | 74,6 | 73,4 | 73,8 | 82,0 | 5,5 |
| 15 | 0,773 | 1,27 | 75,3 | 85,9 | 80,6 | 77,6 | 111,5 | 22,0 | 8,7 | 14,2 | 68,5 | 75,4 | 76,1 | 76,9 | 111,5 | 3,9 |
| 16 | 0,904 | 1,185 | 74,6 | 85,2 | 79,9 | 77,6 | 80,2 | 24,0 | 8,7 | 5,2 | 67,9 | 75,5 | 76,2 | 76,8 | 85,2 | 5,5 |
| 17 | 1,155 | 1,085 | 75,0 | 87,5 | 85,1 | 82,9 | 73,6 | 110,2 | 24,7 | 5,2 | 66,9 | 76,8 | 77,4 | 77,5 | 110,2 | 5,7 |
| 18 | 0,928 | 1,4 | 71,4 | 82,0 | 76,7 | 76,5 | 71,7 | 67,1 | 38,7 | 52,2 | 68,1 | 74,6 | 73,4 | 73,8 | 82,0 | 5,5 |
| 19 | 1,31 | 1,345 | 71,4 | 82,0 | 76,7 | 75,7 | 63,1 | 37,0 | 64,7 | 20,2 | 68,8 | 74,6 | 73,4 | 73,8 | 82,0 | 5,5 |
| 20 | 1,29 | 1,123 | 71,4 | 82,0 | 76,9 | 85,6 | 74,6 | 69,2 | 97,9 | 80,5 | 89,8 | 86,4 | 73,4 | 73,8 | 97,9 | 4,4 |
| 21 | 1,56 | 0,994 | 73,3 | 84,2 | 78,9 | 75,7 | 60,1 | 24,0 | 15,7 | 84,8 | 68,3 | 80,2 | 75,7 | 75,8 | 84,8 | 4,9 |
| 22 | 1,102 | 0,929 | 75,0 | 94,0 | 88,9 | 87,3 | 79,5 | 173,2 | 68,6 | 5,2 | 59,8 | 75,9 | 75,2 | 75,1 | 173,2 | 5,7 |
| 23 | 1,26 | 0,74 | 71,6 | 82,1 | 76,7 | 76,1 | 64,1 | 34,0 | 78,1 | 176,5 | 79,9 | 80,7 | 78,1 | 76,3 | 176,5 | 4,9 |
| 24 | 1,538 | 0,663 | 71,4 | 82,0 | 76,7 | 75,7 | 67,1 | 40,0 | 27,7 | 32,2 | 116,8 | 77,5 | 75,2 | 74,0 | 116,8 | 6,8 |
| 25 | 1,615 | 0,631 | 71,4 | 82,0 | 76,7 | 75,7 | 60,1 | 22,0 | 8,7 | 11,2 | 120,0 | 77,3 | 74,2 | 73,9 | 120,0 | 6,8 |
| 26 | 1,025 | 0,623 | 128,6 | 290,3 | 352,9 | 195,4 | 71,2 | 66,8 | 68,8 | 57,2 | 70,2 | 79,8 | 80,6 | 87,0 | 352,9 | 3,9 |
| 27 | 1,2 | 0,52 | 74,9 | 85,5 | 80,2 | 76,6 | 66,9 | 31,0 | 22,7 | 27,2 | 68,8 | 201,2 | 209,8 | 82,2 | 209,8 | 5,2 |
| 28 | 1,278 | 0,915 | 71,7 | 82,3 | 76,7 | 75,7 | 63,1 | 29,0 | 133,2 | 66,9 | 70,8 | 80,3 | 80,3 | 75,7 | 133,2 | 4,4 |
| 29 | 1 | 0,8 | 73,9 | 95,9 | 94,9 | 97,5 | 239,1 | 45,0 | 8,7 | 5,2 | 58,8 | 76,0 | 74,3 | 75,0 | 239,1 | 3,9 |
| 30 | 1,24 | 0,74 | 71,6 | 82,1 | 76,7 | 76,1 | 64,1 | 37,0 | 97,3 | 181,8 | 79,7 | 81,6 | 78,4 | 77,3 | 181,8 | 4,9 |
| 31 | 1,26 | 0,77 | 71,6 | 82,1 | 76,7 | 76,0 | 64,1 | 33,0 | 93,3 | 145,5 | 72,6 | 80,0 | 78,5 | 76,3 | 145,5 | 4,9 |
| 32 | 1,26 | 0,71 | 71,6 | 82,0 | 76,7 | 76,2 | 65,1 | 36,0 | 68,3 | 185,2 | 107,9 | 81,1 | 77,9 | 76,3 | 185,2 | 4,9 |
| Forekomst,svak vind | | | 2,7 | 2,1 | 1,5 | 2 | 1,5 | 2,2 | 1,7 | 1,9 | 2,6 | 2 | 2 | | | |
| Antall timer pr år | | | 7,02 | 5,46 | 3,9 | 5,2 | 3,9 | 5,72 | 4,42 | 4,94 | 6,76 | 5,2 | 5,2 | | | |

Tabell C3: NO_2 -belastning i beregningspunktene for 12 vindretningssektorer. Forekomst av svak vind er gitt for hver sektor sammen med antall timer med maksimalt utslipp og svak vind.

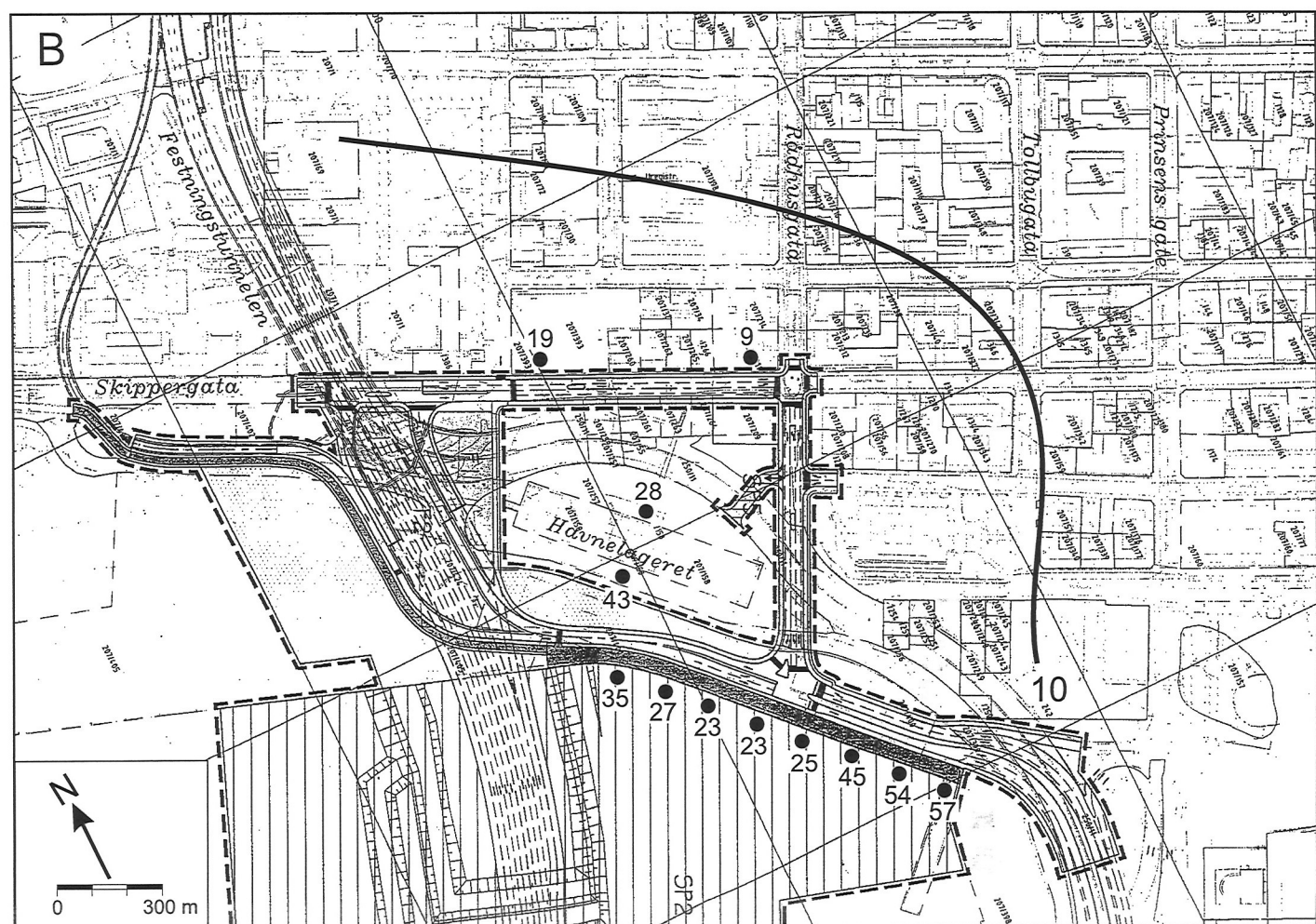
| punkt | x | y | 30 | 60 | 90 | 120 | 150 | 180 | 210 | 240 | 270 | 300 | 330 | 360 | maksimal | timer (rush) |
|----------------------|-------|-------|-------|-------|-------|-------|-------|------|------|------|-------|-------|-------|-------|----------|-----------------|
| 1 | 0,395 | 0,395 | 76,6 | 86,6 | 78,6 | 77,6 | 85,1 | 76,5 | 74,3 | 73,9 | 75,9 | 81,5 | 83,3 | 79,2 | 86,6 | 5,5 |
| 2 | 0,42 | 0,42 | 78,9 | 89,2 | 79,1 | 77,8 | 71,4 | 71,6 | 68,8 | 68,1 | 71,5 | 81,3 | 82,6 | 81,3 | 89,2 | 5,5 |
| 3 | 0,53 | 0,47 | 71,4 | 82,0 | 76,7 | 75,7 | 60,1 | 67,6 | 84,4 | 85,9 | 93,8 | 81,5 | 73,4 | 73,8 | 93,8 | 6,8 |
| 4 | 0,4 | 0,52 | 71,4 | 85,8 | 86,6 | 118,3 | 98,9 | 89,0 | 85,8 | 91,5 | 108,8 | 109,3 | 80,5 | 76,6 | 118,3 | 5,2 |
| 5 | 0,34 | 0,64 | 71,4 | 82,0 | 76,7 | 75,9 | 73,4 | 74,4 | 70,9 | 44,2 | 66,9 | 74,6 | 73,4 | 73,8 | 82,0 | 5,5 |
| 6 | 0,4 | 0,6 | 71,4 | 82,0 | 76,7 | 75,7 | 72,8 | 72,4 | 73,4 | 69,8 | 69,5 | 74,6 | 73,4 | 73,8 | 82,0 | 5,5 |
| 7 | 0,46 | 0,56 | 71,4 | 82,0 | 76,7 | 75,7 | 70,2 | 74,7 | 71,4 | 71,8 | 73,9 | 74,6 | 73,4 | 73,8 | 82,0 | 5,5 |
| 8 | 0,52 | 0,52 | 71,4 | 82,0 | 76,7 | 75,7 | 60,1 | 71,8 | 72,8 | 71,9 | 76,9 | 74,9 | 73,4 | 73,8 | 82,0 | 5,5 |
| 9 | 0,56 | 0,48 | 71,4 | 82,0 | 76,7 | 75,7 | 60,1 | 35,0 | 67,9 | 73,2 | 80,8 | 76,0 | 73,4 | 73,8 | 82,0 | 5,5 |
| 10 | 0,6 | 0,44 | 71,4 | 82,0 | 76,7 | 75,7 | 60,1 | 25,0 | 40,7 | 59,2 | 74,0 | 79,5 | 73,4 | 73,8 | 82,0 | 5,5 |
| 11 | 0,6 | 0,4 | 71,4 | 82,0 | 76,7 | 75,7 | 60,1 | 25,0 | 41,7 | 54,2 | 70,8 | 88,8 | 73,4 | 73,8 | 88,8 | 5,2 |
| 12 | 0,56 | 0,36 | 71,4 | 82,0 | 76,7 | 75,7 | 60,1 | 37,0 | 55,7 | 65,2 | 73,7 | 82,5 | 81,2 | 73,9 | 82,5 | 5,2 |
| 13 | 0,52 | 0,32 | 71,4 | 82,0 | 76,7 | 75,7 | 60,1 | 67,7 | 68,8 | 68,7 | 78,9 | 82,3 | 81,4 | 77,8 | 82,3 | 5,2 |
| 14 | 0,38 | 0,68 | 71,4 | 82,0 | 76,7 | 75,7 | 68,8 | 70,1 | 67,2 | 31,2 | 59,8 | 74,6 | 73,4 | 73,8 | 82,0 | 5,5 |
| 15 | 0,44 | 0,64 | 71,4 | 82,0 | 76,7 | 75,7 | 67,1 | 70,4 | 69,0 | 62,2 | 66,8 | 74,6 | 73,4 | 73,8 | 82,0 | 5,5 |
| 16 | 0,5 | 0,6 | 71,4 | 82,0 | 76,7 | 75,7 | 60,1 | 70,5 | 67,9 | 67,6 | 68,7 | 74,6 | 73,4 | 73,8 | 82,0 | 5,5 |
| 17 | 0,56 | 0,56 | 71,4 | 82,0 | 76,7 | 75,7 | 60,1 | 37,0 | 69,0 | 67,7 | 71,0 | 74,6 | 73,4 | 73,8 | 82,0 | 5,5 |
| 18 | 0,6 | 0,52 | 71,4 | 82,0 | 76,7 | 75,7 | 60,1 | 26,0 | 49,7 | 68,4 | 73,2 | 74,6 | 73,4 | 73,8 | 82,0 | 5,5 |
| 21 | 0,68 | 0,4 | 71,4 | 82,0 | 76,7 | 75,7 | 60,1 | 22,0 | 25,7 | 33,2 | 70,0 | 78,5 | 73,4 | 73,8 | 82,0 | 5,5 |
| 22 | 0,64 | 0,36 | 71,4 | 82,0 | 76,7 | 75,7 | 60,1 | 22,0 | 33,7 | 37,2 | 70,9 | 84,6 | 73,5 | 73,8 | 84,6 | 5,2 |
| 23 | 0,6 | 0,32 | 71,4 | 82,0 | 76,7 | 75,7 | 60,1 | 24,0 | 45,7 | 46,2 | 72,6 | 80,5 | 76,8 | 73,8 | 82,0 | 5,5 |
| 24 | 0,56 | 0,28 | 71,4 | 82,0 | 76,7 | 75,7 | 60,1 | 41,0 | 66,7 | 66,6 | 72,9 | 82,8 | 79,2 | 74,1 | 82,8 | 5,2 |
| 25 | 0,64 | 0,28 | 71,4 | 82,0 | 76,7 | 75,7 | 60,1 | 22,0 | 27,7 | 41,2 | 70,3 | 79,9 | 75,1 | 73,8 | 82,0 | 5,5 |
| 26 | 0,58 | 0,24 | 71,4 | 82,0 | 76,7 | 75,7 | 60,1 | 26,0 | 64,7 | 64,2 | 71,9 | 84,9 | 78,2 | 73,9 | 84,9 | 5,2 |
| 27 | 0,36 | 0,34 | 97,4 | 107,6 | 103,5 | 91,3 | 67,9 | 22,0 | 8,7 | 5,2 | 58,8 | 78,6 | 108,6 | 104,1 | 108,6 | 5,2 |
| 28 | 0,38 | 0,32 | 92,9 | 103,0 | 98,4 | 88,5 | 68,6 | 22,0 | 8,7 | 5,2 | 58,8 | 76,3 | 100,1 | 97,0 | 103,0 | 5,5 |
| 29 | 0,4 | 0,3 | 91,8 | 102,9 | 94,4 | 88,4 | 70,0 | 22,0 | 8,7 | 5,2 | 58,8 | 75,7 | 95,9 | 94,6 | 102,9 | 5,5 |
| 30 | 0,42 | 0,28 | 94,2 | 101,1 | 91,7 | 91,8 | 72,6 | 22,0 | 8,7 | 5,2 | 58,8 | 75,4 | 94,0 | 93,6 | 101,1 | 5,5 |
| 31 | 0,44 | 0,26 | 96,4 | 101,7 | 96,9 | 98,6 | 79,3 | 22,0 | 8,7 | 5,2 | 58,8 | 75,2 | 93,0 | 98,1 | 101,7 | 5,5 |
| 32 | 0,46 | 0,24 | 101,9 | 109,9 | 104,3 | 110,4 | 107,3 | 66,9 | 12,7 | 5,2 | 58,8 | 76,8 | 106,4 | 119,3 | 119,3 | 7,5 |
| 33 | 0,48 | 0,22 | 91,1 | 97,1 | 93,2 | 100,8 | 111,4 | 89,1 | 76,7 | 72,4 | 79,6 | 94,9 | 127,5 | 111,2 | 127,5 | 5,2 |
| 34 | 0,5 | 0,2 | 82,4 | 91,5 | 86,8 | 91,2 | 109,2 | 93,6 | 85,2 | 82,8 | 89,2 | 104,7 | 130,7 | 97,2 | 130,7 | 5,2 |
| forekomst, svak vind | | | 2,7 | 2,1 | 1,5 | 2 | 1,5 | 2,2 | 1,7 | 1,9 | 2,6 | 2 | 2 | 2,9 | | |
| antall timer pr år | | | 7,02 | 5,46 | 3,9 | 5,2 | 3,9 | 5,72 | 4,42 | 4,94 | 6,76 | 5,2 | 5,2 | 7,54 | | |

Vedlegg D

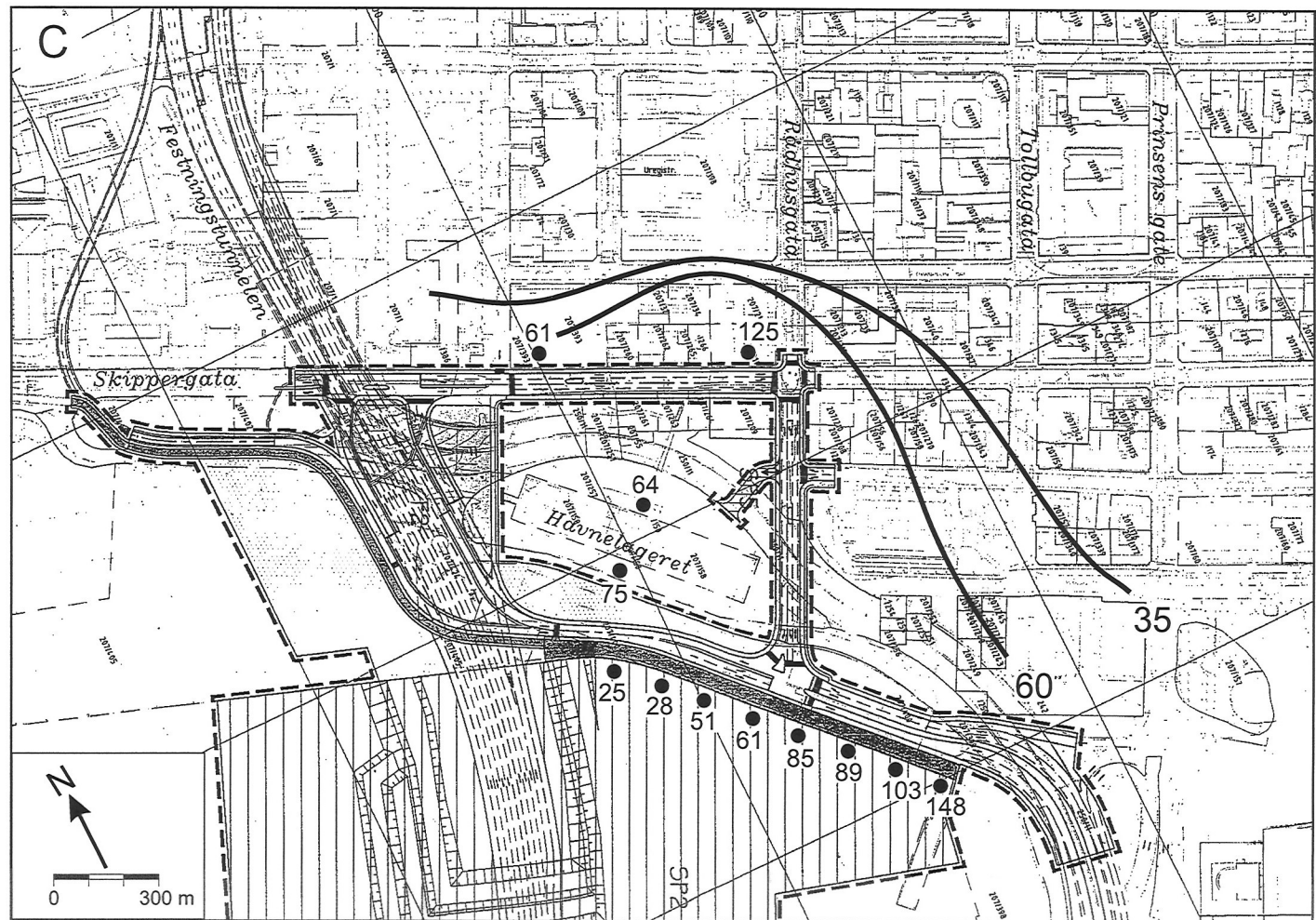
Sammenligning av belastning i Bjørvika for dagens vegsystem og planlagt løsning



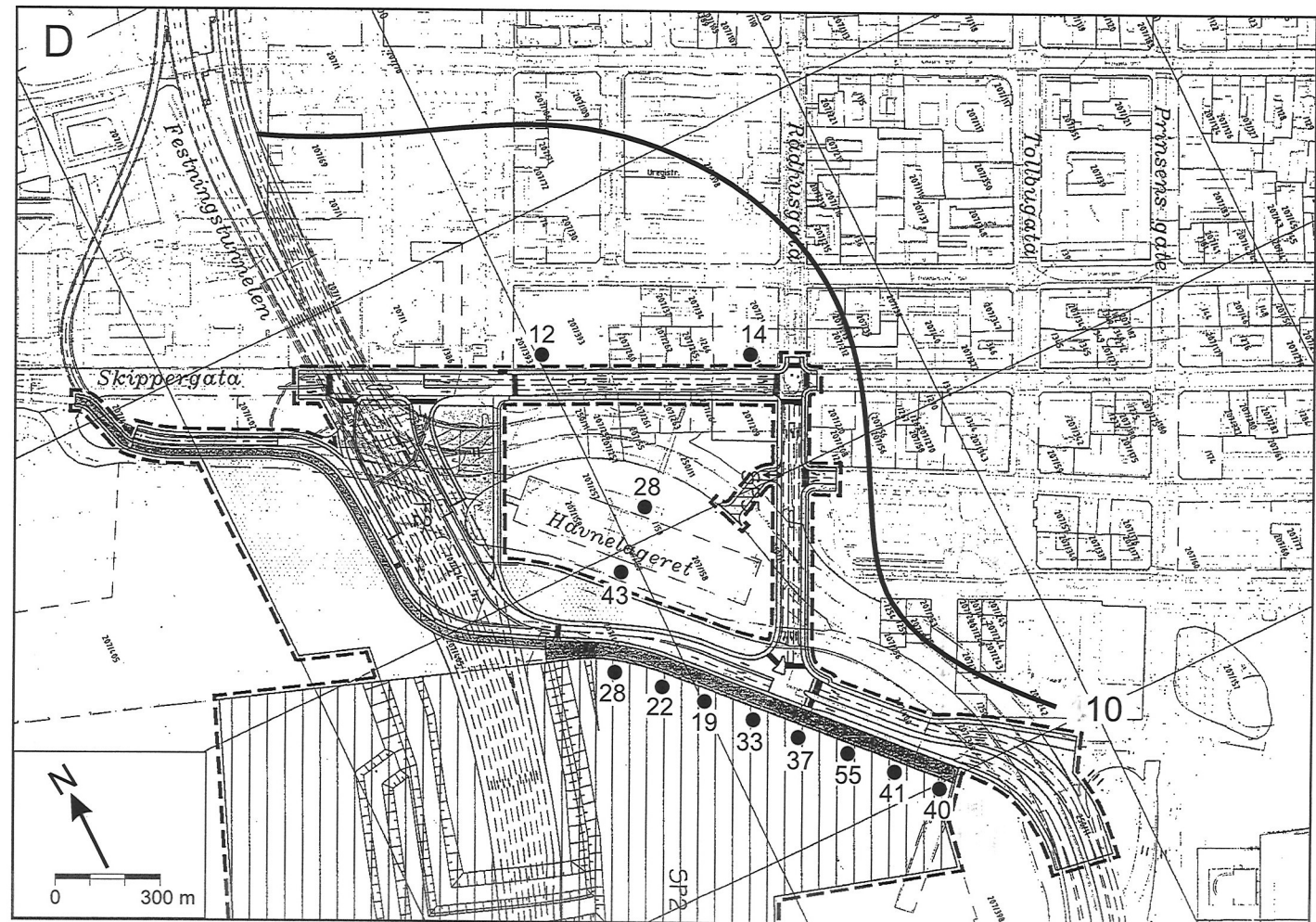
Figur D1: Timemidlle NO₂-konsentrasjoner. Dagens vegsystem med trafikk for år 2010.



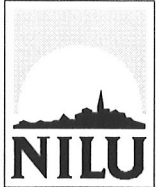
Figur D2: Timemidlede NO_2 -konsentrasjoner. Planlagt vegsystem med trafikk for år 2010.



Figur D3: Døgnmidlede PM₁₀-konsentrasjoner. Dagens vegsystem med trafikk for år 2010.



Figur D4: Døgnmidlede PM₁₀-konsentrasjoner. Planlagt vegsystem med trafikk for år 2010.



Norsk institutt for luftforskning (NILU)
Postboks 100, N-2027 Kjeller

| | | | |
|---|----------------------------------|-------------------------------|--------------------------------------|
| RAPPORTTYPE OPPSDRAGSRAPPORT | RAPPORT NR. OR 14/2000 | | ISBN 82-425-1163-2 ISSN 0807-7207 |
| DATO <i>27.3.2000</i> | ANSV. SIGN. <i>Eystein Hn</i> | ANT. SIDER 39 | PRIS NOK 60,- |
| TITTEL Utbygging av etappe 1 i Bjørvika Beregning av luftforurensning | | PROSJEKTLEDER Dag Tønnesen | |
| | | NILU PROSJEKT NR. O-99072 | |
| FORFATTER(E) Dag Tønnesen | | TILGJENGELIGHET * A | |
| | | OPPDRAKGIVERS REF. | |
| OPPDRAKGIVER Aas-Jakobsen Lilleakerveien 4 0283 Oslo | | | |
| STIKKORD Biltrafikk | Spredningsberegnung | Utslippsberegnning | |
| REFERAT Beregninger av trafikkforurensning i forbindelse med utbygging av etappe 1 i Bjørvika er utført for nitrøse gasser og svevestøv. Beregningene viser at områder med høye konsentrasjoner er begrenset til sonen mellom Ekebergtunnelen og Festningstunnelens forlengelse. | | | |
| TITLE Bjørvika. First leg in road improvement. Calculation of air pollution. | | | |
| ABSTRACT | | | |

- * Kategorier: A Åpen - kan bestilles fra NILU
 B Begrenset distribusjon
 C Kan ikke utleveres